



УДК 539.3

© 2009

К. В. Аврамов

## Нелинейное взаимодействие сопряженных форм колебаний в круглых пластинах с надрезами

(Представлено членом-корреспондентом НАН Украины А. Е. Божко)

*Розглядається кругла пластина з двома надрізами. Для визначення форм її лінійних коливань застосовується теорія R-функцій у поєднанні з методом Релея–Рітца. Коливання пластини при геометрично нелінійному деформуванні розкладаються за знайденими власними формами. В результаті застосування методу Бубнова–Гальоркіна знайдено дискретну систему з трьома степенями вільності, яка досліджується методом багатьох масштабів.*

Круглые пластины являются осесимметричными конструкциями. При колебаниях континуальных осесимметричных систем возбуждаются так называемые сопряженные формы колебаний [1]. На поведение сопряженных форм колебаний существенно влияют начальные несовершенства и вид контура пластины, который может отличаться от круглого. Надрезы в круглых пластинах существенно влияют на их линейные и нелинейные колебания. Круглые пластины часто совершают колебания с амплитудами, соизмеримыми с толщиной. В этом случае они описываются геометрически нелинейными моделями.

Рассмотрим колебания круглой пластины с двумя надрезами. Предполагается, что деформирование пластины является геометрически нелинейным. Колебания рассмотрим в цилиндрической системе координат  $(r, \theta, z)$ . Тогда перемещения точек пластины вдоль осей  $r, \theta, z$  обозначим через  $u_r, u_\theta, u_z$ . Динамика пластины описывается следующей системой уравнений в частных производных [2]:

$$\begin{aligned} u_{r,rr} - \frac{(3-\nu)u_{\theta,\theta}}{2r^2} + \frac{(1+\nu)}{2r}u_{\theta,\theta r} + \frac{1-\nu}{2r^2}u_{r,\theta\theta} + \frac{u_{r,r}}{r} - \frac{u_r}{r^2} + u_{z,r}u_{z,rr} - \frac{1+\nu}{2r^3}u_{z,\theta}^2 + \\ + \frac{\nu+1}{2r^2}u_{z,\theta}u_{z,\theta r} + \frac{1-\nu}{2r^2}u_{z,r}u_{z,\theta\theta} + \frac{1-\nu}{2r}u_{z,r}^2 = \mu \frac{1-\nu^2}{Eh} \ddot{u}_r; \\ \frac{1}{r^2}u_{\theta,\theta\theta} + \frac{3-\nu}{2r^2}u_{r,\theta} + \frac{1+\nu}{2r}u_{r,r\theta} + \frac{1-\nu}{2r}u_{\theta,r} - \frac{1-\nu}{2r^2}u_\theta + \frac{1-\nu}{2}u_{\theta,rr} + \frac{1}{r^3}u_{z,\theta}u_{z,\theta\theta} + \\ + \frac{1+\nu}{2r}u_{z,r}u_{z,r\theta} + \frac{1-\nu}{2r^2}u_{z,r}u_{z,\theta} + \frac{1-\nu}{2r}u_{z,rr}u_{z,\theta} = \mu \ddot{u}_\theta \frac{1-\nu^2}{Eh}; \end{aligned} \quad (1)$$

$$\begin{aligned} \frac{h^2}{12} \nabla^4 u_z = & -\mu \frac{1-\nu^2}{Eh} \ddot{u}_z + \frac{1}{r} (r u_{z,r})_{,r} \left( u_{r,r} + \frac{1}{2} u_{z,r}^2 + \frac{\nu}{r} u_r + \frac{\nu}{r} u_{\theta,\theta} + \frac{\nu}{2r^2} u_{z,\theta}^2 \right) + \\ & + \frac{1-\nu}{r} u_{z,\theta r} \left( u_{\theta,r} + \frac{1}{r} u_{r,\theta} - \frac{1}{r} u_{\theta} + \frac{1}{r} u_{z,r} u_{z,\theta} \right) + \\ & + \frac{1}{r^2} u_{z,\theta\theta} \left( \frac{1}{r} u_r + \frac{1}{r} u_{\theta,\theta} + \frac{1}{2r^2} u_{z,\theta}^2 + \nu u_{r,r} + \frac{\nu}{2} u_{z,r}^2 \right), \end{aligned}$$

где  $\ddot{u}_\theta = \partial^2 u_\theta / \partial t^2$ ;  $u_{z,r} = \partial u_z / \partial r$ ;  $\mu$  — масса единицы длины пластины;  $E$  — модуль Юнга;  $\nu$  — коэффициент Пуассона;  $h$  — толщина пластины.

Для дискретизации уравнений колебаний пластины (1) воспользуемся методом Бубнова–Галеркина. Тогда динамика пластины с надрезами раскладывается по собственным формам линейных колебаний. Для получения этих собственных форм воспользуемся методом Релея–Ритца, в котором используется потенциальная энергия деформирования пластины  $\Pi$ . Эта энергия в полярных координатах принимает следующий вид:

$$\begin{aligned} \Pi = & \frac{Eh}{2(1-\nu^2)} \int_{\Omega} \left\{ u_{r,r}^2 + \frac{2\nu}{r} (u_{\theta,\theta} + u_r) u_{r,r} + \frac{1-\nu}{2} \left( u_{\theta,r} - \frac{u_\theta}{r} + \frac{1}{r} u_{r,\theta} \right)^2 + \right. \\ & \left. + \frac{1}{r^2} (u_{\theta,\theta} + u_r)^2 \right\} r dr d\theta + \frac{D}{2} \int_{\Omega} \left\{ u_{z,rr}^2 + 2\nu u_{z,rr} \left( \frac{1}{r^2} u_{z,\theta\theta} + \frac{1}{r} u_{z,r} \right) + \right. \\ & \left. + \left( \frac{1}{r^2} u_{z,\theta\theta} + \frac{1}{r} u_{z,r} \right)^2 + 2(1-\nu) \left( \frac{1}{r} u_{z,r\theta} - \frac{1}{r^2} u_{z,\theta} \right)^2 \right\} r dr d\theta. \end{aligned} \quad (2)$$

Здесь  $\Omega$  — область пластины на плоскости  $(r, \theta)$ . Кинетическую энергию пластины представим так:

$$T = \frac{\mu}{2} \int_{\Omega} (\dot{u}_r^2 + \dot{u}_\theta^2 + \dot{u}_z^2) r dr d\theta,$$

где  $\mu$  — масса единицы длины. Линейные колебания пластины с надрезами имеют вид

$$[u_r(r, \theta, t), u_\theta(r, \theta, t), u_z(r, \theta, t)] = [\bar{u}_r(r, \theta), \bar{u}_\theta(r, \theta), \bar{u}_z(r, \theta)] \sin(pt + \alpha).$$

Соотношения (2) введем в действие по Гамильтону и произведем необходимое интегрирование. В результате получим следующий функционал:

$$\begin{aligned} S = & \frac{Eh}{2(1-\nu^2)} \int_{\Omega} \left\{ \bar{u}_{r,r}^2 + \frac{2\nu}{r} (\bar{u}_{\theta,\theta} + \bar{u}_r) \bar{u}_{r,r} + \frac{1}{r^2} (\bar{u}_{\theta,\theta} + \bar{u}_r)^2 + \right. \\ & \left. + \frac{1-\nu}{2} \left( \bar{u}_{\theta,r} - \frac{\bar{u}_\theta}{r} + \frac{\bar{u}_{r,\theta}}{r} \right)^2 \right\} r dr d\theta + \frac{D}{2} \int_{\Omega} \left\{ \bar{u}_{z,rr}^2 + 2\nu \bar{u}_{z,rr} \left( \frac{1}{r^2} \bar{u}_{z,\theta\theta} + \frac{1}{r} \bar{u}_{z,r} \right) + \right. \\ & \left. + \left( \frac{1}{r^2} \bar{u}_{z,\theta\theta} + \frac{1}{r} \bar{u}_{z,r} \right)^2 + 2(1-\nu) \left( \frac{1}{r} \bar{u}_{z,r\theta} - \frac{1}{r^2} \bar{u}_{z,\theta} \right)^2 \right\} r dr d\theta - \\ & - \frac{\mu}{2} p^2 \int_{\Omega} (\bar{u}_r^2 + \bar{u}_\theta^2 + \bar{u}_z^2) r dr d\theta. \end{aligned} \quad (3)$$

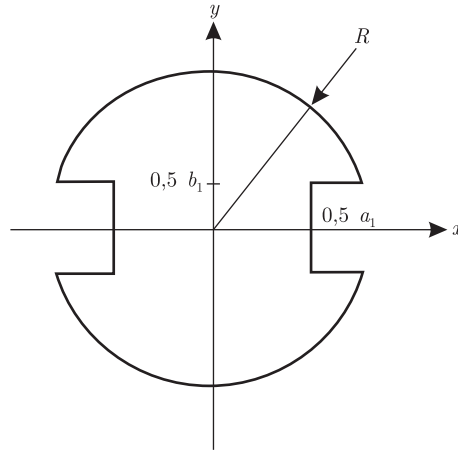


Рис. 1

В дальнейшем рассмотрим защемленную по всему контуру пластину. Границу пластины с надрезами обозначим через  $\partial\Omega$ . Граничные условия для защемленной пластины представим так:  $\bar{u}_z|_{\partial\Omega} = [\partial\bar{u}_z/\partial r]|_{\partial\Omega} = u_\theta|_{\partial\Omega} = u_r|_{\partial\Omega} = 0$ . Чтобы удовлетворить граничным условиям, запишем в аналитическом виде уравнение границы области  $\partial\Omega$  (рис. 1). Для этого воспользуемся теорией  $R$ -функций, которая представлена в [3].  $R$ -функция выбирается так:  $\omega(r, \theta) = 0; \forall (r, \theta) \in \partial\Omega; \omega(r, \theta) > 0; \forall (r, \theta) \in \Omega$ . Для круглой пластины с надрезом  $R$ -функция принимает следующий вид:

$$\omega(x, y) = (\eta_2 \vee_0 \eta_3) \wedge_0 \eta_1; \quad \eta_1 = \frac{1}{2R}(R^2 - x^2 - y^2);$$

$$\eta_2 = \frac{1}{a_1} \left( \frac{a_1^2}{4} - x^2 \right); \quad \eta_3 = \frac{1}{b_1} \left( y^2 - \frac{b_1^2}{4} \right),$$

где  $\wedge_0, \vee_0$  — булевы операции конъюнкции и дизъюнкции [3].

Формы свободных колебаний круглой пластины с надрезами, удовлетворяющие граничным условиям, представим так:

$$\bar{u}_z(r, \theta) = \omega^2(r, \theta) \sum_{k=0}^m [Z_k^{(c)}(r) \cos(k\theta) + Z_k^{(s)}(r) \sin(k\theta)];$$

$$\bar{u}_\theta(r, \theta) = \omega(r, \theta) \sum_{k=0}^m [\Theta_k^{(c)}(r) \cos(k\theta) + \Theta_k^{(s)}(r) \sin(k\theta)]; \quad (4)$$

$$\bar{u}_r(r, \theta) = \omega(r, \theta) \sum_{k=0}^m [R_k^{(c)}(r) \cos(k\theta) + R_k^{(s)}(r) \sin(k\theta)].$$

Здесь функции  $Z_k^{(c)}(r), Z_k^{(s)}(r), \dots, R_k^{(s)}(r)$  выражены в виде полиномов по  $r$ . Соотношения (4) вводятся в (3). После интегрирования по площади пластины  $\Omega$  получаем функционал

$$S = S(a_0, \dots, a_l); \quad l = 6(M + 1)(m + 1), \quad (5)$$

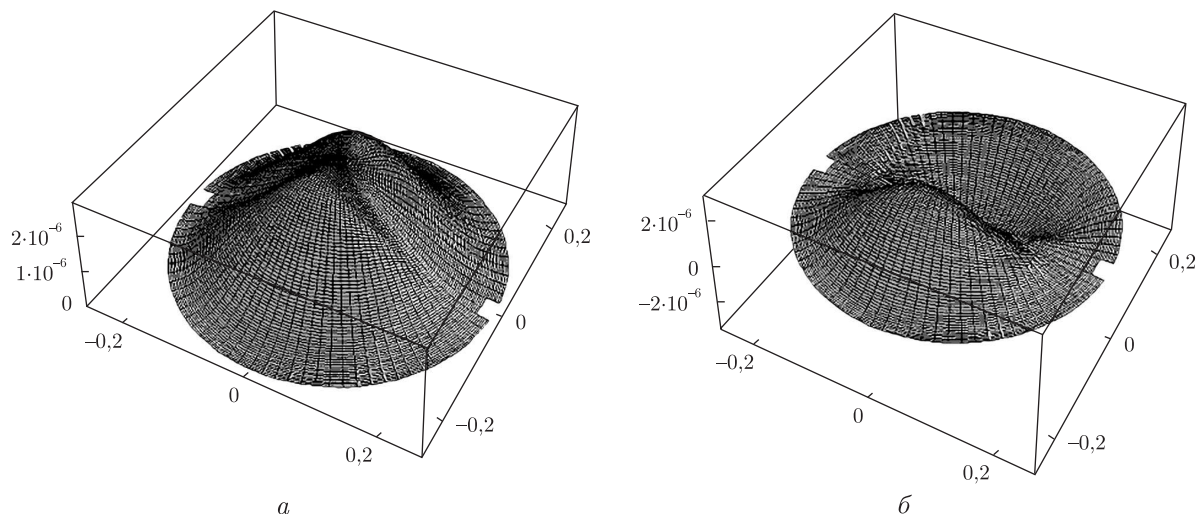


Рис. 2

где  $M$  — степень полиномов;  $a_0, \dots, a_l$  — коэффициенты полиномов (4). Следуя методу Релея–Ритца для минимизации функционала (5), составим систему уравнений:  $\partial S / \partial a_j = 0$ ;  $j = 0, \dots, l$ . Из этих уравнений получим проблему собственных значений, которая принимает следующий вид:  $(K - p^2 M)X = 0$ , где  $M = \|m_{ij}\|_{j=1, l+1}^{i=1, l+1}$ ;  $K = \|k_{ij}\|_{j=1, l+1}^{i=1, l+1}$ ;  $X = (a_0, \dots, a_l)$ .

Как следует из функционала (3), изгибные линейные колебания пластинки  $u_z$  и колебания в плоскости  $u_r$ ,  $u_\theta$  являются независимыми. Поэтому их можно исследовать отдельно. Рассмотрим стальную пластинку с такими параметрами:  $a_1 = 0,46$  м;  $b_1 = 0,02$  м;  $R = 0,25$  м;  $E = 2 \cdot 10^{11}$  Па;  $\nu = 0,3$ ;  $\rho = 7800$  кг/м<sup>3</sup>;  $h = 5 \cdot 10^{-3}$  м. Для этих значений производился расчет собственных частот и форм колебаний. Первая собственная частота  $p_1$  отвечает зонтичной форме, а вторая и третья частоты  $p_2$ ,  $p_3$  соответствуют двум сопряженным формам колебаний. Нами производились расчеты с различными порядками полиномов, аппроксимирующих формы колебаний. Было показано, что  $M = 8$  достаточно для достижения требуемой точности. Численные значения частот таковы:  $p_1 = 1841$  рад/с;  $p_2 = 2772$  рад/с;  $p_3 = 3350$  рад/с. Вторая и третья собственные формы представлены на рис. 2. Для сравнения приведем собственные частоты для идеально круглой пластины. Первая частота, соответствующая зонтичной форме, —  $p_1^* = 1252$  рад/с, а две частоты, соответствующие сопряженным формам, —  $p_{2,3} = 2606$  рад/с.

Нелинейные колебания пластины разложим по собственным формам, которые были исследованы выше:

$$u_z = \sum_{i=1}^3 q_i(t) \bar{u}_z^{(i)}(r, \theta); \quad u_\theta = \sum_{i=1}^3 \psi_i(t) \bar{u}_\theta^{(i)}(r, \theta); \quad u_r = \sum_{i=1}^3 \varphi_i(t) \bar{u}_r^{(i)}(r, \theta), \quad (6)$$

где  $\bar{u}_z^{(i)}$ ,  $\bar{u}_\theta^{(i)}$ ,  $\bar{u}_r^{(i)}$  — собственные формы линейных колебаний;  $q_1(t), q_2(t), \dots, \varphi_3(t)$  — обобщенные координаты. Введем соотношения (6) в первые два уравнения системы (1), отбрасывая инерционные слагаемые. Эта операция возможна, так как собственные частоты колебаний пластины в плоскости значительно выше изгибных частот. В результате получаем

систему линейных алгебраических уравнений относительно  $(\varphi_1, \dots, \psi_3)$ , которая принимает следующий вид:

$$[B][\varphi_1 \varphi_2 \varphi_3 \psi_1 \psi_2 \psi_3]^T = \sum_{l=1}^3 \sum_{\mu=1}^3 q_l q_\mu [A_{l\mu}^{(1)} A_{l\mu}^{(2)} A_{l\mu}^{(3)} D_{l\mu}^{(1)} D_{l\mu}^{(2)} D_{l\mu}^{(3)}]^T. \quad (7)$$

Здесь  $A_{l\mu}^{(i)}$ ;  $D_{l\mu}^{(i)}$  — параметры, формулы для которых не приводятся для краткости;  $[B]$  — матрица  $6 \times 6$ , элементы которой также не приводятся для краткости. Решение системы (7) введем в (6). В результате получим:

$$u_\theta = \sum_{i=1}^3 \sum_{l=1}^3 \sum_{\mu=1}^3 \alpha_{l\mu}^{(i)} \bar{u}_\theta^{(i)}(r, \theta) q_l q_\mu; \quad u_r = \sum_{i=1}^3 \sum_{l=1}^3 \sum_{\mu=1}^3 \chi_{l\mu}^{(i)} \bar{u}_r^{(i)}(r, \theta) q_l q_\mu, \quad (8)$$

где параметры  $\alpha_{l\mu}^{(i)}$ ,  $\chi_{l\mu}^{(i)}$  не описываются для краткости. Теперь (8) введем в третье уравнение системы (1) и воспользуемся методом Бубнова–Галеркина. В результате получим следующую динамическую систему с тремя степенями свободы:

$$\ddot{q}_k + p_k^2 q_k = \sum_{i=1}^3 \sum_{l=1}^3 \sum_{\mu=1}^3 G_{il\mu}^{(k)} q_i q_l q_\mu; \quad k = \overline{1, 3}. \quad (9)$$

Параметры  $G_{il\mu}^{(k)}$  здесь не приводятся. Приведем систему (9) к следующим безразмерным переменным и параметрам:

$$\varepsilon H_{il\mu}^{(k)} = \frac{h^2}{p_1^2} G_{il\mu}^{(k)}; \quad (l, \mu) = \overline{1, 3}, \quad \tau = p_1 t; \quad \xi_i = \frac{q_i}{h}; \quad i = \overline{1, 3},$$

где  $0 < \varepsilon \ll 1$ .

Тогда динамическая система (9) принимает вид

$$\ddot{\xi}_k + \omega_k^2 \xi_k = \varepsilon \sum_{i, l, \mu} H_{il\mu}^{(k)} \xi_i \xi_l \xi_\mu; \quad k = \overline{1, 3}. \quad (10)$$

Как следует из результатов расчета линейных колебаний, описанных выше, в системе (10) наблюдается два внутренних резонанса:

$$\omega_3 = 2\omega_1 + \varepsilon\gamma; \quad \omega_3 = \omega_2 + \varepsilon\sigma,$$

где  $\gamma, \sigma$  — параметры расстройки.

Для исследования динамики системы (10) воспользуемся методом многих масштабов. Тогда решение представим так:

$$\xi_k = \xi_{k,0}(T_0, T_1, \dots) + \varepsilon \xi_{k,1}(T_0, T_1, \dots) + \dots, \quad (11)$$

где  $T_0 = \tau$ ;  $T_1 = \varepsilon\tau$  — масштабы времени. Введем (11) в (10) и приравняем слагаемые при  $\varepsilon^0$  и  $\varepsilon^1$ . В результате получим

$$\xi_{k,0} = A_k \exp(i\omega_k T_0) + \bar{A}_k \exp(-i\omega_k T_0); \quad k = \overline{1, 3}, \quad (12)$$

$$\begin{aligned}
\frac{\partial^2 \xi_{k,1}}{\partial T_0^2} + \omega_k^2 \xi_{k,1} + 2 \frac{\partial^2 \xi_{k,0}}{\partial T_0 \partial T_1} &= \sum_{j=1}^3 R_{jk} A_k A_j \bar{A}_j \exp(i\omega_k T_0) + \\
&+ G_k A_3 A_k \bar{A}_2 \exp[iT_0(\omega_k + \varepsilon\sigma)] + G_k \bar{A}_3 A_k A_2 \exp[iT_0(\omega_k - \varepsilon\sigma)] + \\
&+ 3H_{kkk}^{(k)} A_k^2 \bar{A}_k \exp(i\omega_k T_0) + P_k A_2^2 \bar{A}_3 \exp[i(\omega_2 - \varepsilon\sigma)] + \\
&+ F_k A_3^2 \bar{A}_2 \exp[iT_0(\omega_3 + \varepsilon\sigma)] + \text{Н.С.Ч.}; \quad k = \overline{1,3}.
\end{aligned} \tag{13}$$

Здесь Н.С.Ч. — несущественные для дальнейшего анализа слагаемые; параметры  $R_{jk}$ ;  $G_k$ ;  $H_{kkk}^{(k)}$ ,  $P_k$ ,  $F_k$  не описываются для краткости;  $A_k(T_1)$  — комплексная амплитуда, которая будет определена ниже. Введем (12) в (13) и приравняем нулю секулярные члены. В результате получим систему модуляционных уравнений относительно комплексных переменных  $(A_1, A_2, A_3)$ , к которой применим следующую замену переменных:  $A_j = 0,5a_j \exp(i\psi_j)$ ;  $j = \overline{1,3}$ . Получим систему шести модуляционных уравнений относительно действительных переменных. К полученной системе применим такую замену переменных:

$$(a_1, a_2, a_3, \psi_1, \psi_2, \psi_3) = (a_1, a_2, a_3, \gamma); \quad \gamma = \psi_3 - \psi_2 + \sigma T_1. \tag{14}$$

В результате получим систему модуляционных уравнений:

$$\begin{aligned}
a_1' &= 0; \quad a_2' = -\frac{F_2}{8\omega_2} a_2^2 a_3 \sin \gamma + \frac{F_2}{8\omega_2} a_3^2 a_2 \sin(2\gamma); \\
a_3' &= \frac{F_3}{8\omega_3} a_3^2 a_2 \sin \gamma - \frac{F_3}{8\omega_3} a_2^2 a_3 \sin(2\gamma); \\
\gamma' &= \sigma + \frac{1}{8\omega_2 \omega_3} \sum_j \delta_j a_j^2 + \frac{\delta_*}{8\omega_2 \omega_3} a_2 a_3 \cos \gamma + \left( \frac{F_2}{8\omega_2} a_3^2 - \frac{F_3}{8\omega_3} a_2^2 \right) \cos(2\gamma) + \\
&+ \frac{3}{8\omega_2} H_{222}^{(2)} a_2^2 - \frac{3}{8\omega_3} H_{333}^{(3)} a_3^2,
\end{aligned} \tag{15}$$

где параметры  $\delta_*$ ,  $\delta_j$  не описываются для краткости.

Неподвижные точки системы (15) описывают следующие колебания системы (10):

$$\xi_k = a_k \cos(\Omega_k t); \quad \Omega_k = \omega_k - \varepsilon D_k(a_1, a_2, a_3); \quad k = \overline{1,3}.$$

В системе автономных уравнений (15) существуют неподвижные точки:  $a_1 \neq 0$ ;  $a_2 \neq 0$ ;  $a_3 \neq 0$ ;  $\gamma \neq 0$ . Для исследования колебаний, соответствующих этим неподвижным точкам, величина  $a_2$  задается с некоторым шагом. Для каждого значения  $a_2$  величины  $\gamma$ ,  $a_3$ ,  $a_1$  находятся из уравнений:

$$\begin{aligned}
\cos \gamma &= \frac{F_2 a_2}{2F_2 a_3}; \quad a_3 = a_2 \sqrt{\frac{F_2 P_3}{F_2 F_3}}; \\
a_1^2 &= \delta_1^{-1} [-8\sigma \omega_2 \omega_3 - a_2^2 (\delta_2 + 3\omega_3 H_{222}^{(2)}) + a_3^2 (3\omega_2 H_{333}^{(3)} - \delta_3) - \delta_* a_2 a_3 \cos \gamma - \\
&- (F_2 \omega_3 a_3^2 - P_3 \omega_2 a_2^2) \cos(2\gamma)].
\end{aligned} \tag{16}$$

Произведем численный анализ колебаний пластины с параметрами, представленными выше. Неподвижные точки (16) соответствуют возбуждению как двух сопряженных форм,

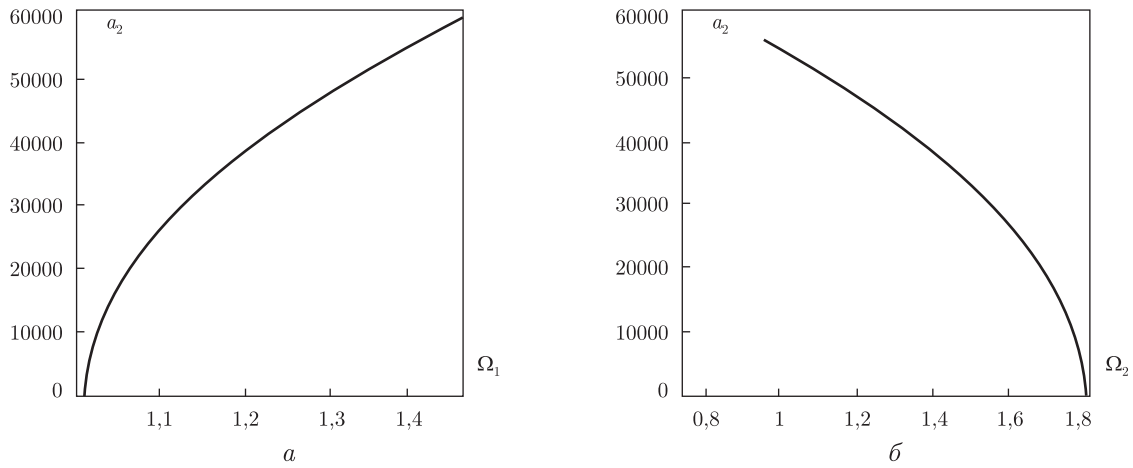


Рис. 3

так и осесимметричной зонтичной формы колебаний. Скелетные кривые, описывающие зависимость частот колебаний  $\Omega_j$ ,  $j = \overline{1, 2}$ , от амплитуды  $a_2$ , представлены на рис. 3. Скелетная кривая, описывающая колебания пластины по осесимметричной зонтичной форме, является жесткой, а скелетные кривые, описывающие колебания по двум сопряженным формам, являются мягкими.

*Работа частично поддержана Фондом фундаментальных исследований Украины в рамках проекта Ф25.1/042.*

1. Кубенко В. Д., Ковальчук П. С., Подчасов Н. П. Нелинейные колебания цилиндрических оболочек. – Киев: Вища шк., 1989. – 240 с.
2. Григолоук Э. И., Кабанов В. В. Устойчивость оболочек. – Москва: Наука, 1978. – 344 с.
3. Рвачев В. Л. Теория R-функций и некоторые ее приложения. – Киев: Наук. думка, 1982. – 550 с.

*Институт проблем машиностроения  
им. А. Н. Подгорного НАН Украины, Харьков*

*Поступило в редакцию 03.10.2008*

**K. V. Avramov**

### **Nonlinear interaction of two conjugate modes of oscillations in circular plates with cuts**

*A circular plate with two cuts is considered. The combination of the R-function and Rayleigh–Ritz methods is used to determine the linear vibrations modes. The vibrations of a plate under a geometrically nonlinear deformation are expanded in the obtained eigenmodes. Using the Bubnov–Galerkin procedure, a system with three degrees of freedom is derived and studied by the multiple scales method.*